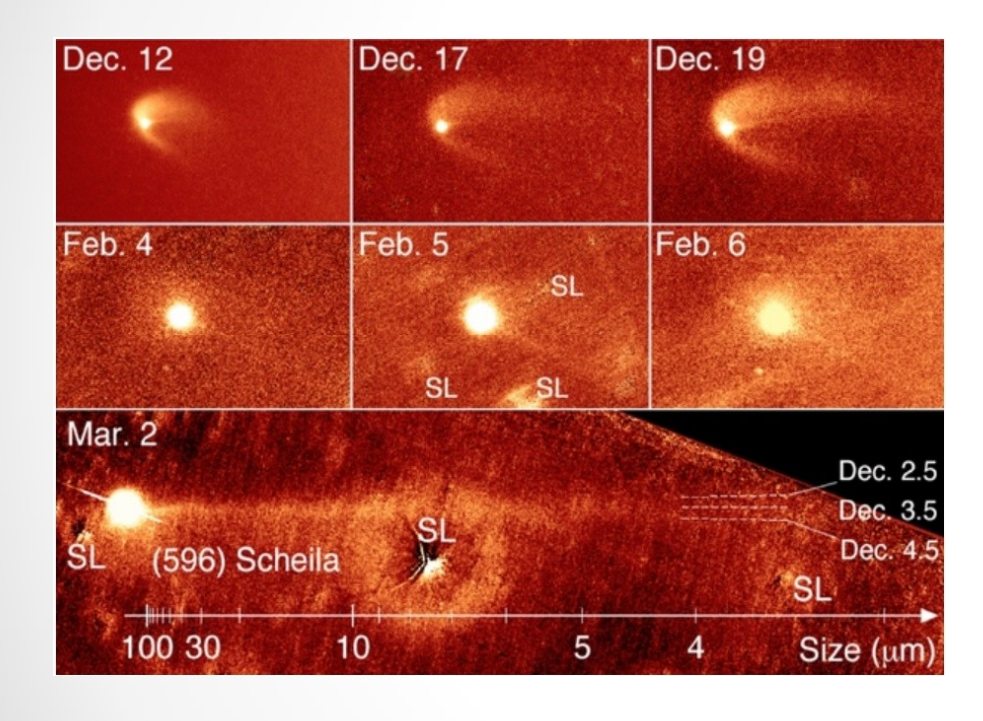
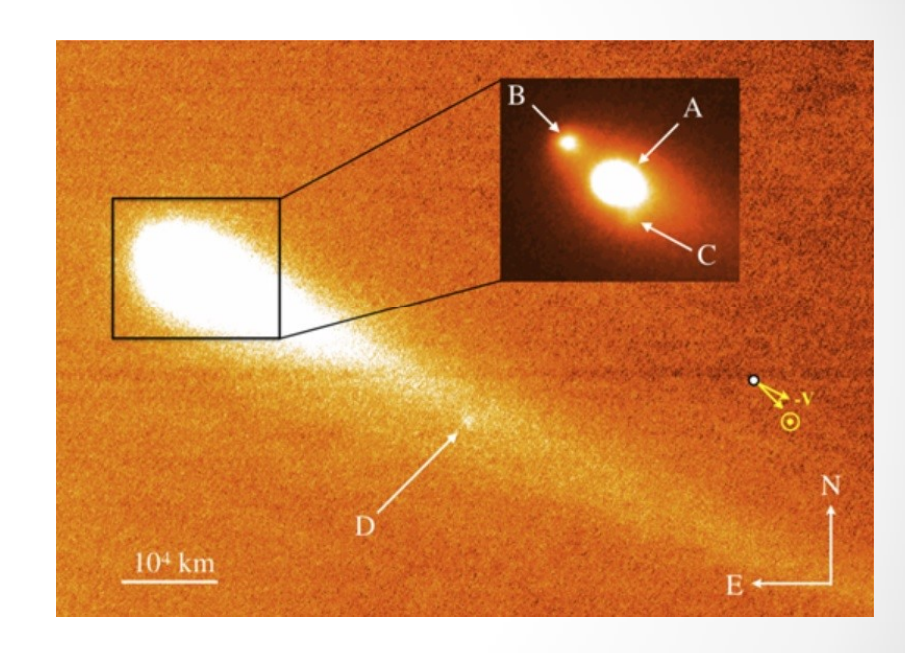
ПОСЛЕДНИЕ РЕЗУЛЬТАТЫ ИССЛЕДОВАНИЙ АСТЕРОИДОВ С СУБЛИМАЦИОННОЙ АКТИВНОСТЬЮ

Щербина М.П., Бусарев В.В. ГАИШ МГУ



(596) Scheila Ударное событие



P2013/R3
Разрушение тела при быстром вращении

Jewitt D. et al. (2017)

• Ishiguro M. et al. (2011)

Введение Данные Последние данные Обсуждение Вывод

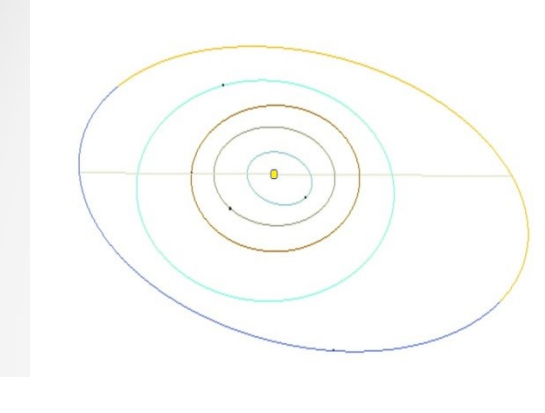
Подозреваемый механизм	Количество объектов	%o
Сублимация	15	44
Разрушение из-за вращения	7	21
Столкновение	4	12
Термическое разрушение	1	3
Криовулканизм	1	3
Взаимодействие двойных астероидов	1	3
Неизвестно	5	15

Chandler C. O. et al. (2018) SAFARI: Searching Asteroids for Activity Revealing Indicators



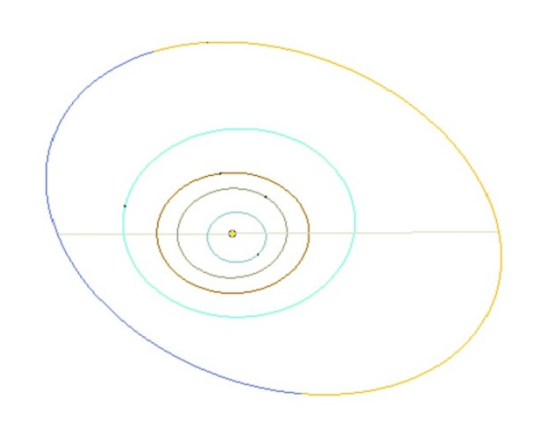
Обсерватория «Пик Терскол», филиал ИНАСАН

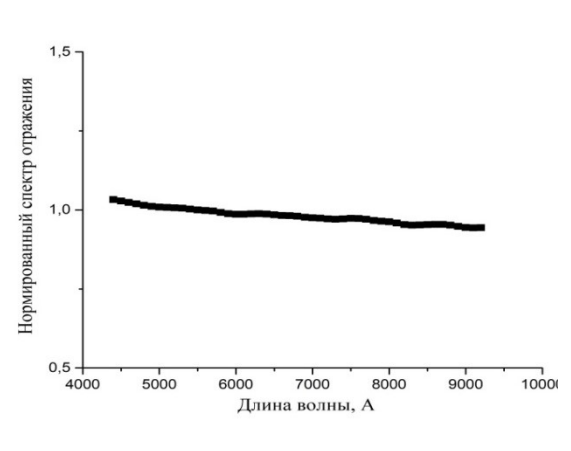
3150 м, 2м телескоп, R ≈100

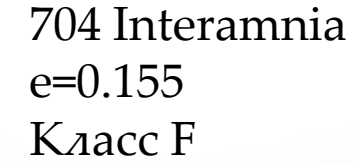


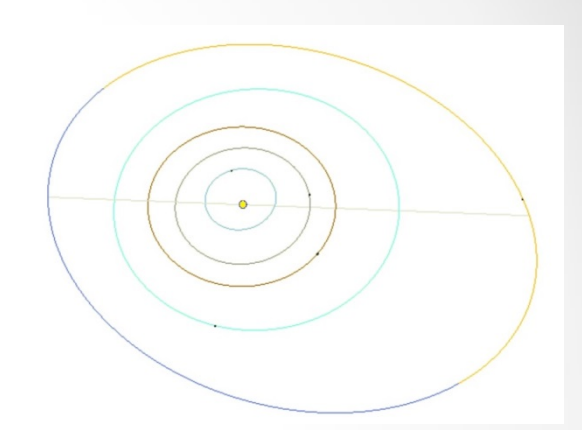
1,5 — 1,0 —

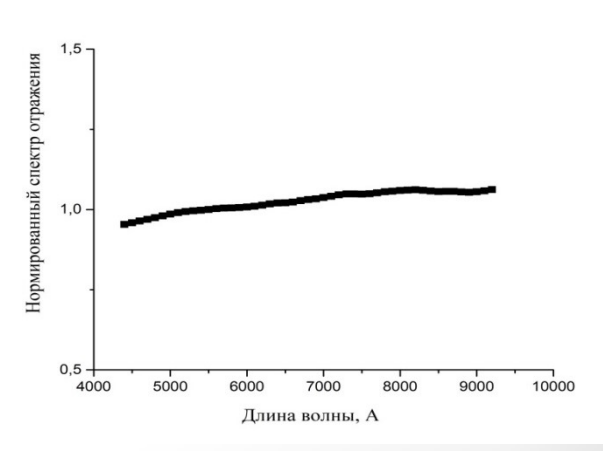
145 Adeona e=0.1442 Класс С









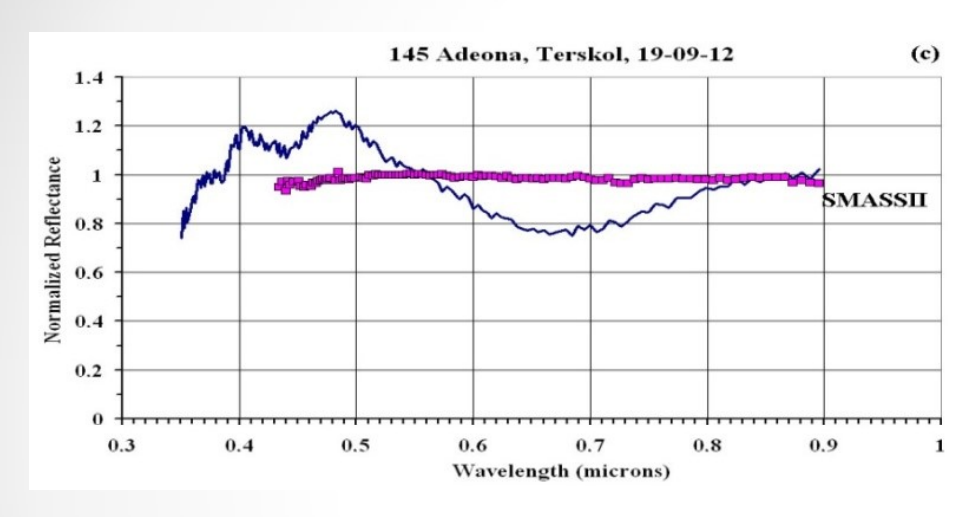


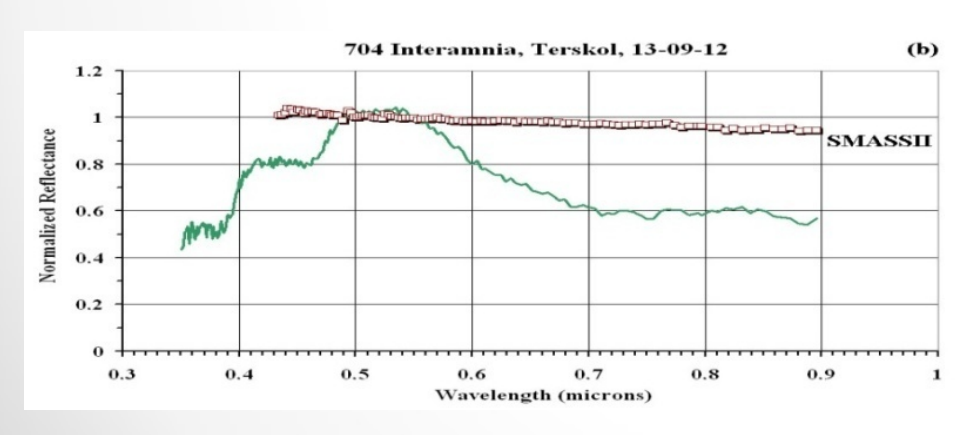
779 Nina e=0.227 Класс X

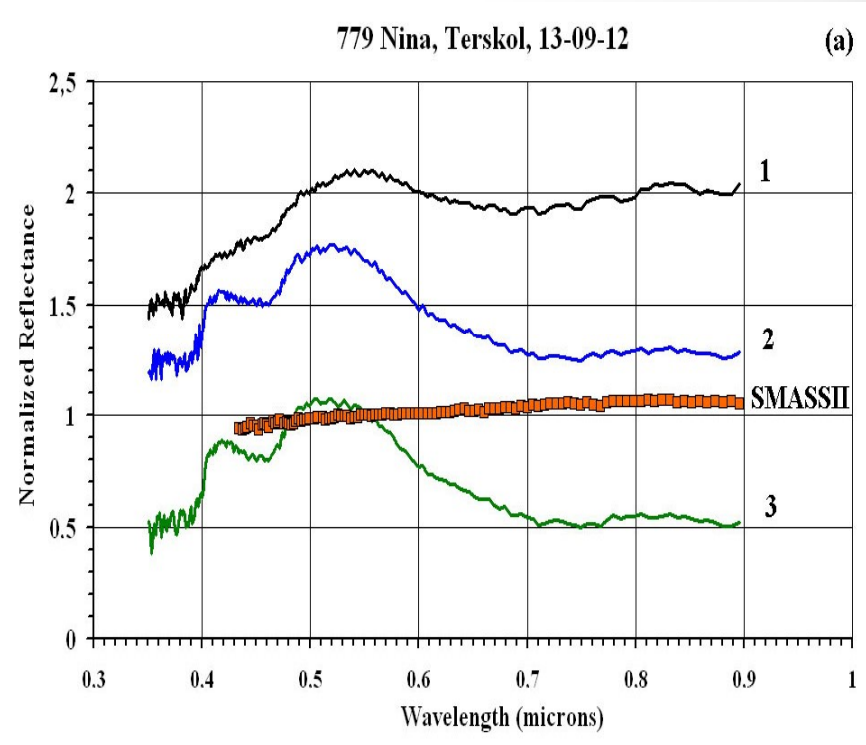
Данные 2012г Последние данные

Обсуждение

Вывод







Появление максимума в ~ 0,48-0,55 микрон в спектре отражения астероидов мы интерпретируем в результате рассеяния солнечного света, отраженного от поверхности астероида, и прохождения через кому или временную ледяную пыль (в результате сублимации), возникающую в течение примерно нескольких месяцев.

Это согласуется с результатами численного моделирования интенсивности рассеянного света, проходящего через оболочку частиц водяного льда микронного (или менее) размера и сферической формы в соответствии с теорией Ми.



Крымская обсерватория ГАИШ МГУ 60-см



ИААН РТ обсерватория Санглок 1-м



Российско-Турецкий телескоп (РТТ-150), ТЮБИТАК

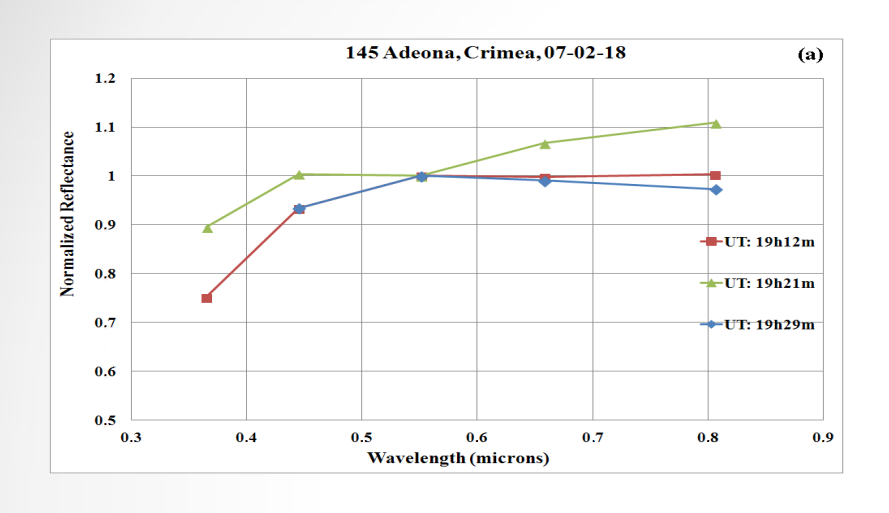
1.5-м

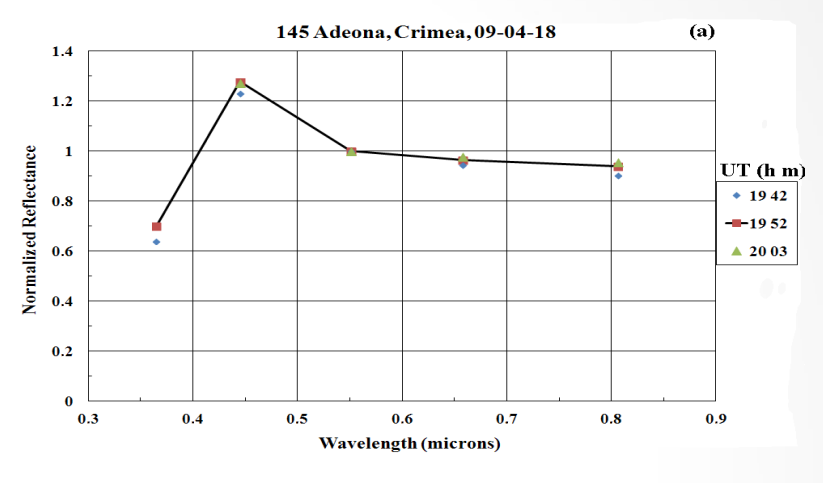
Данные 2012г

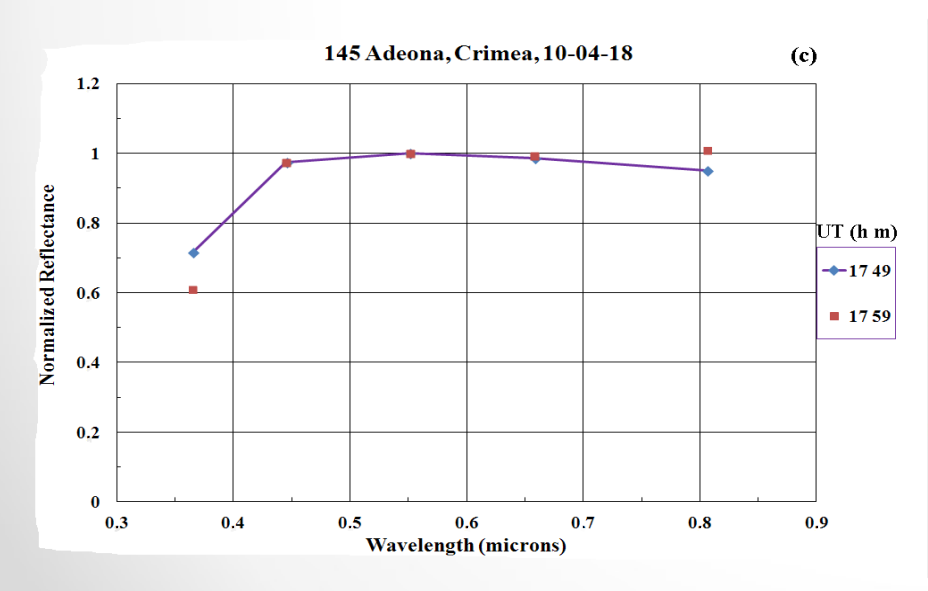
Последние данные

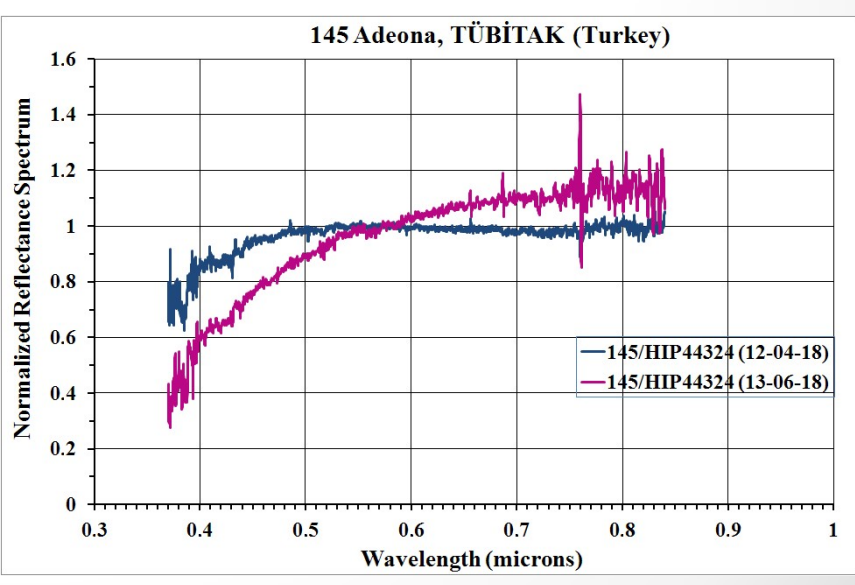


Вывод







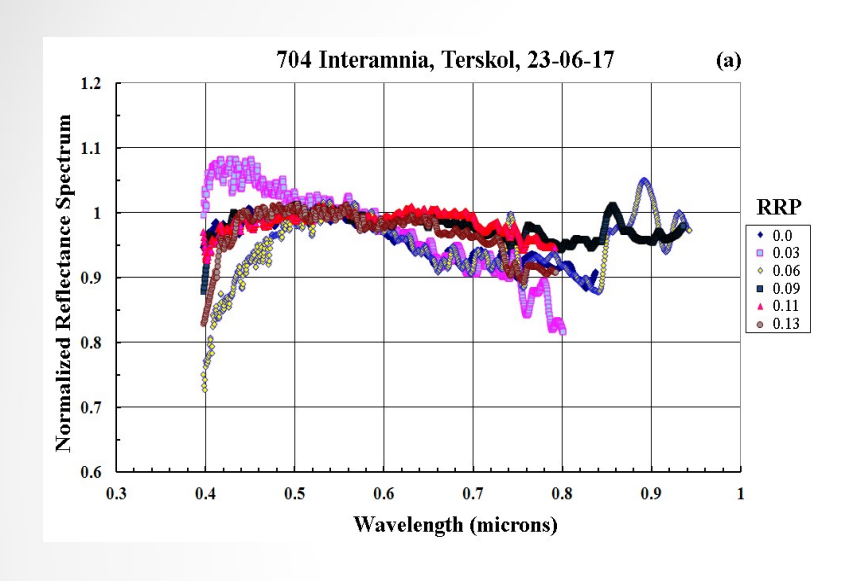


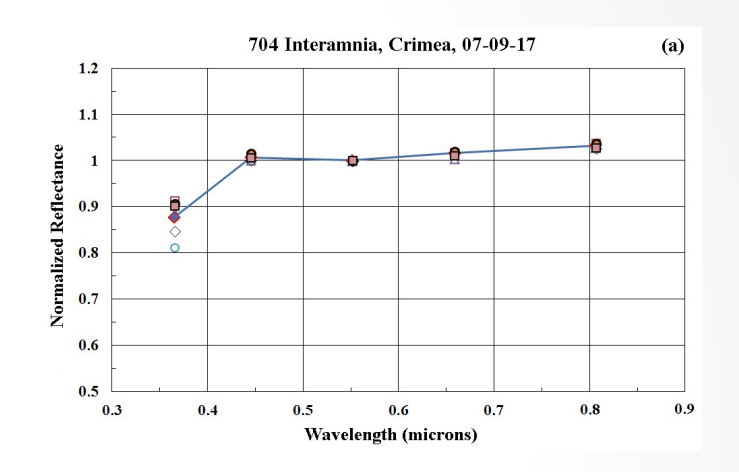
Данные 2012г

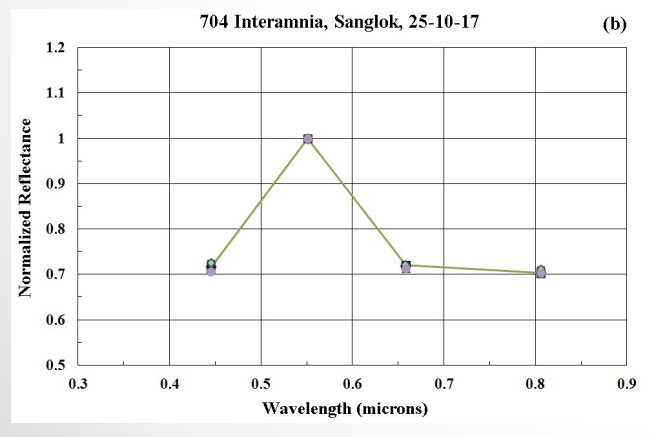
Последние данные

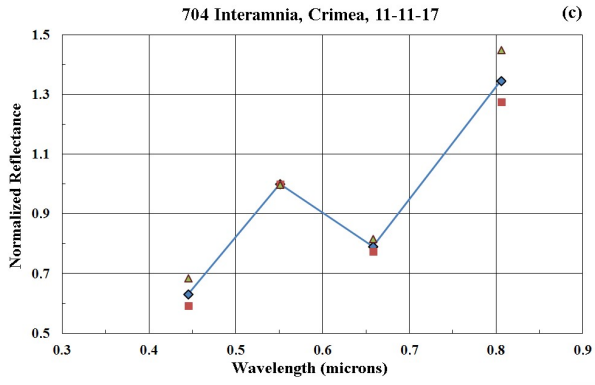
Обсуждение

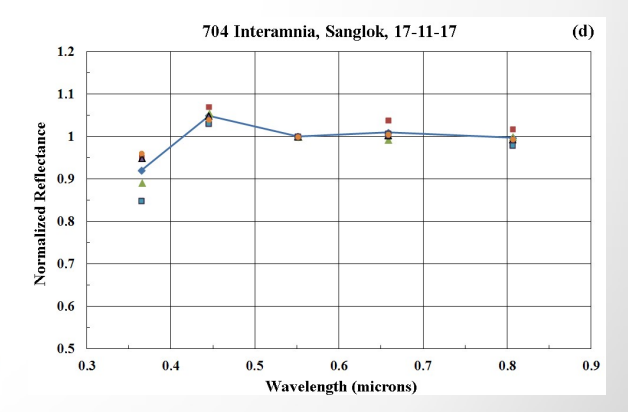
Вывод

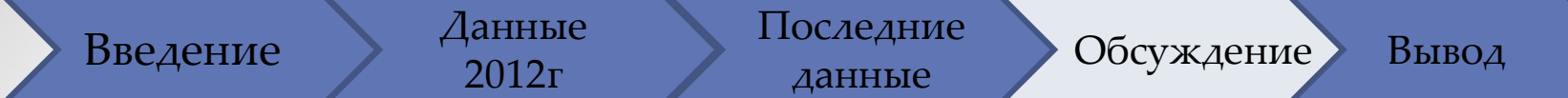


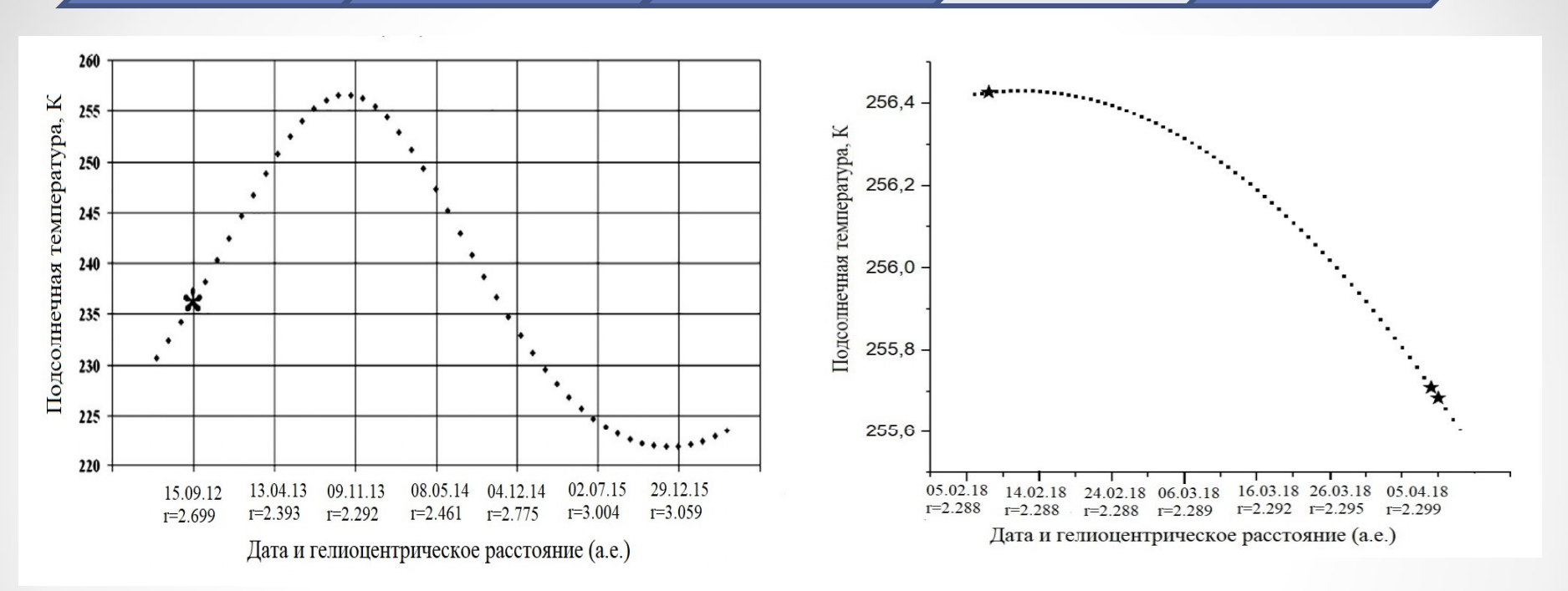








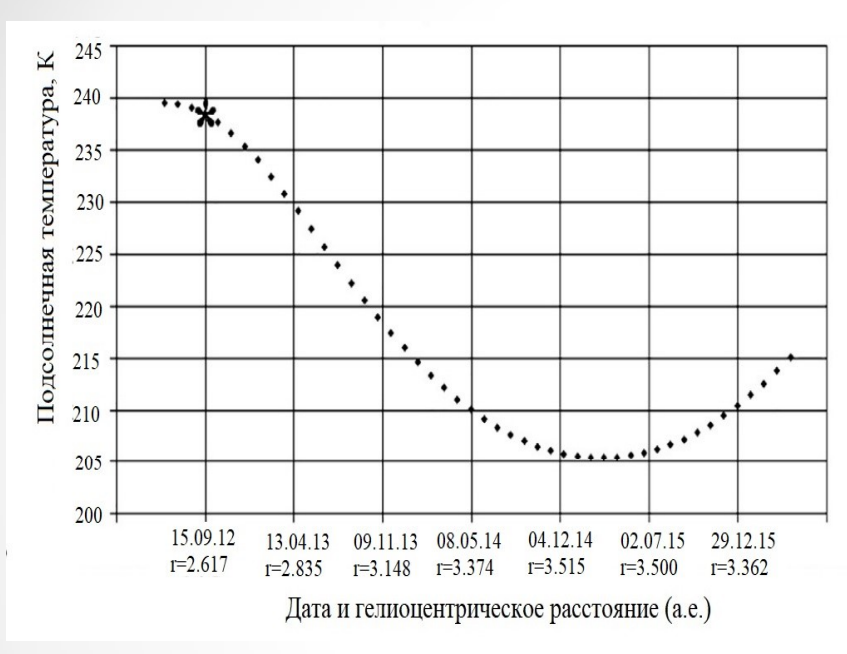


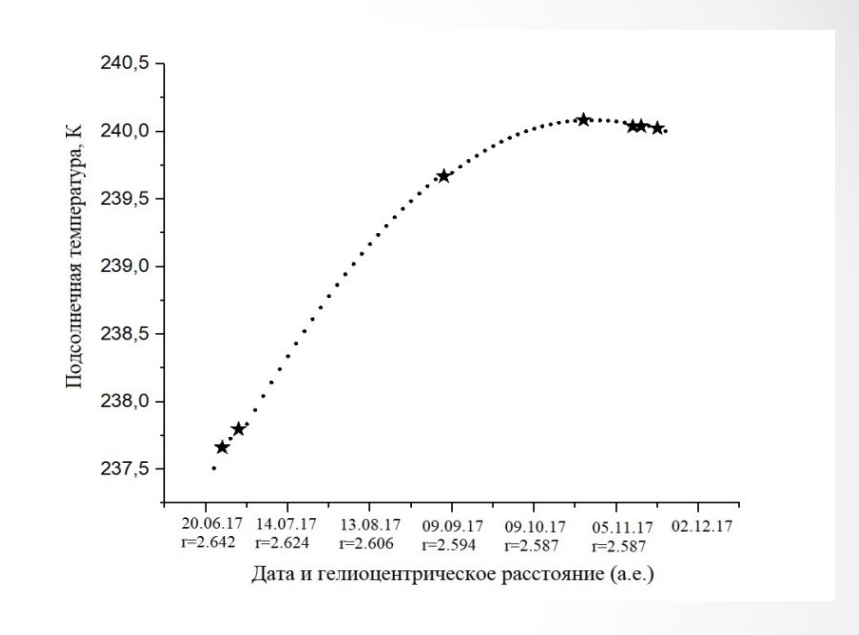


Подсолнечные (экваториальные) колебания температуры на поверхности **145 Adeona** при вращении вокруг Солнца. Температура и гелиоцентрическое расстояние астероида на время наблюдений отмечено звездочкой.

Перепад подсолнечных температур для время наблюдений 2012 года составляет 222 с до 257 К. Температура не достигла максимума, что логично, так как астероид не достиг перигелия

Наблюдения 2018 года проводились во время нахождения на перигелийном расстоянии, поверхность уже успела нагреться до максимума, что вскоре привело к запуску сублимационной активности





Подсолнечные (экваториальные) колебания температуры на поверхности **704 Interamnia** при вращении вокруг Солнца. Температура и гелиоцентрическое расстояние астероида на время наблюдений отмечено звездочкой.

Перепад подсолнечных температур для наблюдений в 2012 году составляет с 206 до 240 К. Наблюдения проводили сразу после прохождения перигелия, при достаточно высоких температурах поверхности, что привело к наблюдаемому эффекту сублимации

Наблюдения 2017 года проводились как до прохождения перигелия, во время, так и сразу после.

Еще до достижения максимальной температуры астероид начинает проявлять сублимационную активность

Данные

2012Γ

Таким образом, нами обнаружены спектральные признаки сублимационной активности астероидов в перигелии, связанные с наличием льда (в основном водяного льда) в поверхностном веществе и образованием временной пыльной комы.



Введение

Из-за значительного эксцентриситета их орбит изменения субполярной температуры на телах составляют несколько десятков градусов



Необходимым условием сублимационного процесса является высокое содержание льда в поверхностном веществе рассматриваемых астероидов.

Одновременная сублимационная активность нескольких примитивных астероидов в главном поясе вблизи перигелия является убедительным доказательством широко распространенного характера этого явления.

Это может служить прямым указанием на сценарий возникновения астероидов примитивного типа за «снеговой линией» в ранней Солнечной системе.

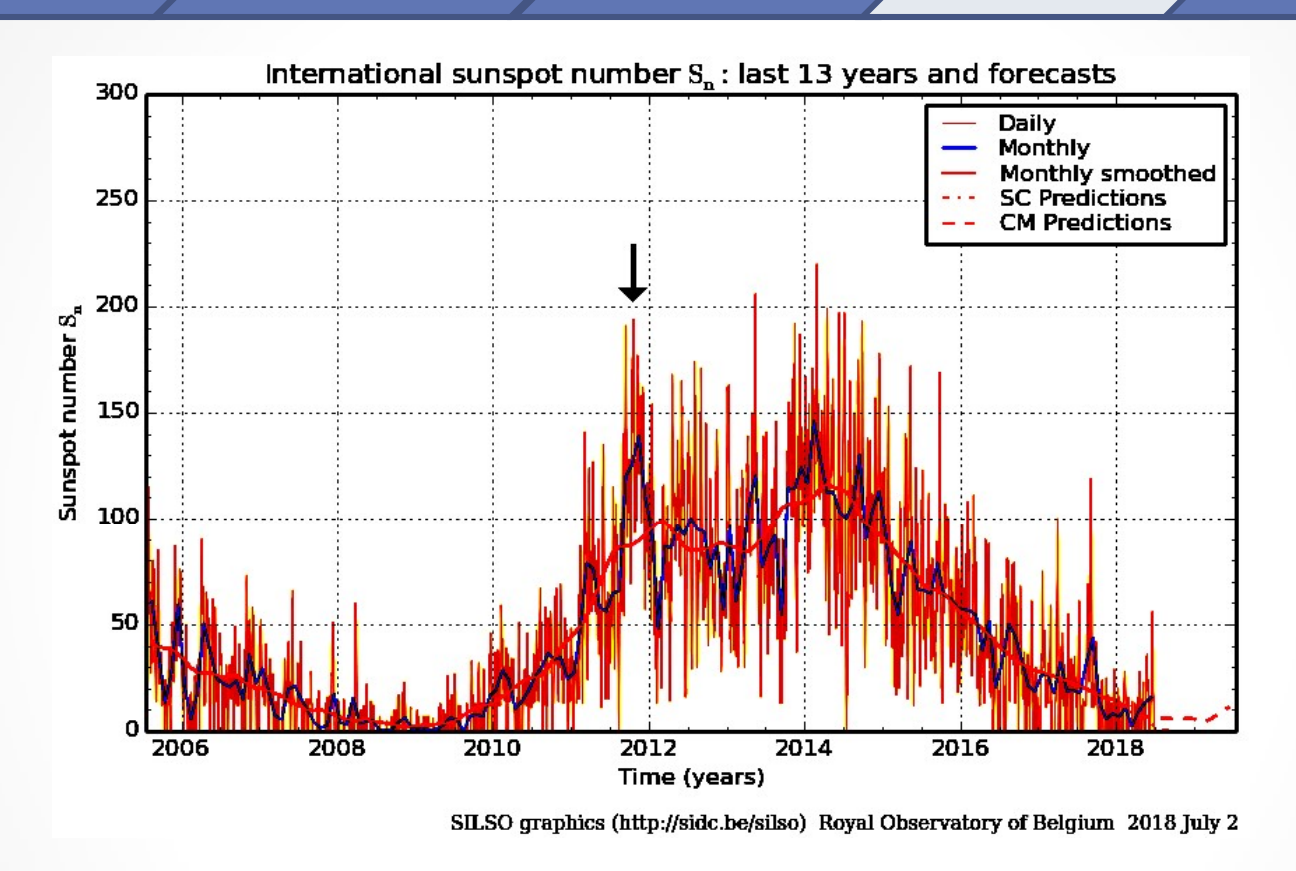
Механизм, препятствующий исчерпанию или изоляции водяного льда вблизи их поверхности.

Очевидно, искомым механизмом на астероидах Главного является постоянная метеоритная и микрометеоритная переработка их поверхностного вещества.

Метеоритный и микрометеоритный потоки в Главном поясе, повидимому, не только препятствуют образованию на поверхности астероида примитивного типа герметизирующих слоев органики, но и обеспечивают постоянную экскавацию новых ледяных включений с большей глубины и, таким образом, поддерживают его сублимационную активность.

К похожим последствиям должны приводить падения на астероиды крупных тел, но такие события имеют меньшую вероятность.





Вероятно, повышение энергии и плотности солнечного ветра привело к дальнейшему разрушению и распылению льда и гидратированных силикатов, составляющих поверхностное вещество астероида.



Обнаружен для астероидов Главного Пояса примитивных типов – 145 Adeona, 704 Interamnia и 779 Nina – эффект сублимационной активности.



Для объяснения меньшей интенсивности сублимации при повторных наблюдениях было выдвинуто предположение о влиянии солнечной активности, что хорошо согласуется с полученными результатами.



Обнаружение одновременной сублимационной активности указанных астероидов, а также периодичность эффекта указывают на массовость данного явления, что приводит к выводу о наличии в таких телах достаточно большого запаса H_2O , а следовательно, о формировании астероидов примитивных типов за границей конденсации водяного льда.

Спасибо за внимание!